

Prijenos opterećenja na bočno pridržani tankostjeni nosač profila Z

Diana Šimić

Ključne riječi

tankostjeni nosač,
profil Z,
bočno pridržanje,
trapezno profilirani lim,
gravitacijsko opterećenje,
odižuće opterećenje,
Eurokod 3

Key words

*thin-walled beam,
Z section,
lateral restraint,
trapezoidal steel sheeting,
gravity load,
uplift load,
Eurocode 3*

Mots clés

*poutre à parois minces,
section en Z,
soutien latéral,
tôle profilée trapézoïdale,
charge de gravité,
charge ascensionnelle,
Eurocode 3*

Ключевые слова

*тонкостенная балка,
профиль Z,
поддержка сбоку,
трапециевидно
профилированная жесткость,
гравитационная нагрузка,
подъемная нагрузка,
Еврокод 3*

Schlüsselworte

*Dünnwandträger,
Z-Profil,
seitliche Stützung,
Trapezprofilblech,
Schwerkraftbelastung,
Abhubbelastung,
Eurokode 3*

D. Šimić

Izvorni znanstveni rad

Prijenos opterećenja na bočno pridržani tankostjeni nosač profila Z

Ponašanje tankostjenog nosača profila Z, bočno pridržanog uzduž pojasnice trapezno profiliranim limom, analizirano je za gravitacijsko i odižuće opterećenje. Za gravitacijsko opterećenje razmatrana je varijanta prijenosa gravitacijskog opterećenja definirana Eurokodom 3 (EN 1993-1-3) i varijanta koja se temelji na analizi deformacija pojasnice nosača. Razmatrane su i varijante prijenosa gravitacijskog i odižućeg opterećenja koje daju najpovoljnije stanje naprezanja u nosaču.

D. Šimić

Original scientific paper

Load transfer to laterally supported thin-walled Z-section beams

The behaviour of thin-walled Z-section beams, laterally restrained along the flange by trapezoidal steel sheeting, is analyzed for the gravity load and uplift load. The gravity load transfer alternative defined in Eurocode 3 (EN 1993-1-3), and the alternative based on beam flange deformation analysis, are considered for the gravity load. The gravity and uplift load transfer alternatives enabling the best possible load situation in beams are also considered.

D. Šimić

Ouvrage scientifique original

Le transfert de charges aux poutres à parois minces et à section en Z

Le comportement des poutres à parois minces et à section en Z, soutenues latéralement le long de l'aile par tôle profilée trapézoïdale, est analysé pour la charge de gravité et la charge ascensionnelle. L'alternative de transfert de charge de gravité définie dans l'Eurocode 3 (EN 1993-1-3), et l'alternative basée sur l'analyse de déformation de l'aile de la poutre, sont considérées pour la charge de gravité. Les alternatives de transfert de charge de gravité et de charge ascensionnelle, qui présentent l'état de contrainte le plus favorable dans la poutre, sont également prises en compte.

Д. Шимић

Оригинальная научная работа

Перенос нагрузки на поддерживаемую сбоку тонкостенную балку профиля Z

Проведен анализ поведения тонкостенной балки Z-образного профиля, поддерживаемой сбоку вдоль пояса трапециевидно профилированной жесткостью, для гравитационной и подъемной нагрузок. Для гравитационной нагрузки рассмотрен вариант переноса гравитационной нагрузки, определенный нормой Еврокод 3 (EN 1993-1-3), и вариант, базирующийся на анализе деформаций пояса балки. Рассмотрены также и варианты переноса гравитационной и подъемной нагрузок, дающие наиболее благоприятное состояние напряжения в балке.

D. Šimić

Wissenschaftlicher Originalbeitrag

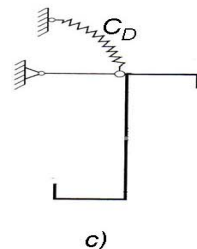
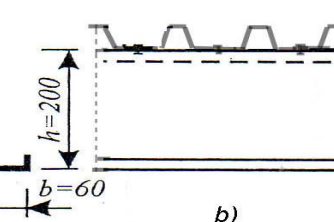
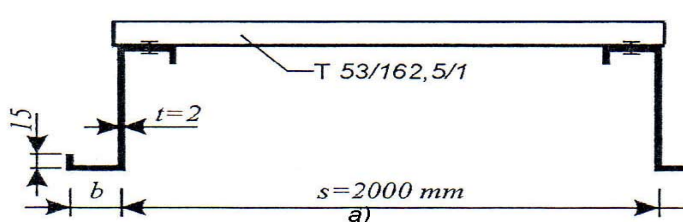
Übertrag der Belastung auf einen seitlich gestützten dünnwandigen Z - Profilträger

Das Verhalten eines seitlich längs des Untergurtes mit Trapezprofilblechs gestützten Z - Profildünnwandträgers analysierte man für Schwerkraft- und Abhubbelastung. Für Schwerkraftbelastung betrachtete man die Variante des Schwerkraftübertrags, definiert von Eurokode 3 (EN 1993-1-3), sowie die Variante die auf der Analyse der Verformung des Untergurts beruht. Betrachtet wurden auch die Varianten der Schwerkraft - und Abhubbelastung welche den günstigsten Spannungszustand im Träger geben.

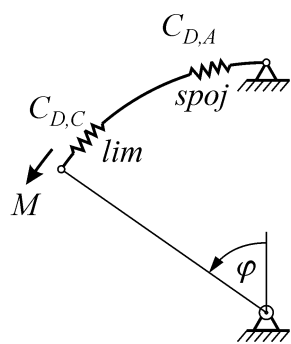
Autor: Prof. dr. sc. Diana Šimić, dipl. ing. grad., Sveučilište u Zagrebu, Građevinski fakultet, Zagreb

1 Uvod

Promatra se nosivi sustav koji se sastoji se od tankostjennih nosaca Z- profila i trapezno profiliranih tankih limova vrlo male debljine od 0,5 do 4,0 mm. Za puno kontinuirano bočno pridržanje tankostjenog nosaca Z-profil, spaja se trapezno profilirani lim kontinuirano preko gornje pojascice tankostjenog nosaca i udubljenja lima (slika 1.). Oslonci tankostjenog nosaca izvode se tako da je spriječena rotacija i bočno pomicanje na ležajevima.



Slika 1. Tankostjeni nosac Z- profila bočno pridržan trapezno profiliranim limom [3]



Slika 2. Model rotacijske opruge

Uz pretpostavku da je ispunjen uvjet konstrukcijskog oblikovanja spojeva, koji osigurava aktiviranje krutosti trapeznog lima na savijanje, pri modeliranju poнаšanja bočno pridržanog tankostjenog nosaca, može se pretpostaviti da spoj trapezno profiliranog lima na nosac djelomično sprječava uvijanje nosaca i pridržanu pojascnicu čini stabilnijim.

Ovo djelomično torzijsko pridržanje može se prikazati rotacijskom oprugom određene rotacijske krutosti C_D [3] koja obuhvaća rotacijsku krutost spoja lima i nosaca i rotacijsku krutost koja odgovara krutosti trapeznog lima na savijanje. Na slici 1.c prikazan je model tankostjenog nosaca Z- profila bočno pridržan linijskom krutom vezom i rotacijskom elastičnom vezom koje zamjenjuju bočno pridržanje nosaca trapezno profiliranim limom.

Ukupna je rotacijska krutost opruge (slika 2.) prema normi EN 1993-1-3, točka 10.1.5.2.

$$C_D = \frac{1}{\frac{1}{C_{D,A}} + \frac{1}{C_{D,C}}} \quad (1)$$

Rotacijska krutost $C_{D,A}$ koja obuhvaća rotacijsku krutost spoja lima i nosaca određuje se eksperimentalno. Rotacijska krutost $C_{D,C}$ koja odgovara krutosti lima na savijanje može se odrediti izrazom

$$C_{D,C} = k \cdot \frac{E \cdot I_{eff}}{s} \quad (2)$$

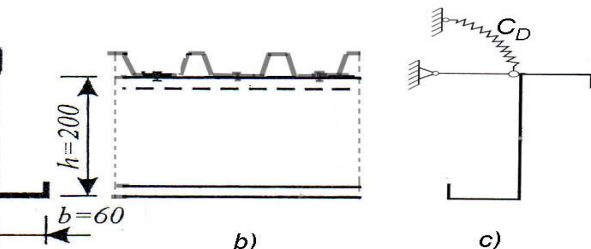
gdje je:

I_{eff} – moment tromosti djelotvornog poprečnog presjeka za jediničnu širinu lima

s – razmak tankostjenih nosaca (raspon lima)

$k = 2$ – za limove preko jednog polja

$k = 4$ – za limove kontinuirane preko dvaju ili više polja.



Pri djelovanju odižućeg opterećenja na nosivi sustav, opterećenje s trapeznog lima na nosac prenosi se preko spojnih vijaka u pojascici nosaca. Položaj spojnih vijaka u pojascici nosaca u potpunosti određuje prijenos opterećenja s lima na nosac, model "D".

Pri djelovanju gravitacijskog opterećenja na nosivi sustav, opterećenje s trapeznog lima na nosac prenosi se preko dodirnih površina lima i pojascice nosaca. Taj prijenos opterećenja ovisi o deformaciji pojascice nosaca i umanjeno nije u potpunosti određen kao u slučaju odižućeg opterećenja. Da bi se dobio što potpuniji uvid u stvarni prijenos gravitacijskog opterećenja razmatraju se tri varijante prijenosa gravitacijskog opterećenja s trapeznog lima na nosac, te utjecaj bočnog pridržanja na nosivost tankostjenog nosaca:

- prijenos opterećenja s trapeznog lima na tankostjeni nosac preko hrpta nosaca, definiran Eurokodom 3, EN 1993-1-3, model "A"
- prijenos opterećenja s trapeznog lima na pojascicu tankostjenog nosaca po linearnom zakonu (na slobodnom rubu pojascice nosaca intenzitet opterećenja jednak je nuli), model "B"
- optimalni prijenos opterećenja s trapeznog lima na pojascicu tankostjenog nosaca, model "C".

Rezultati teorijskih istraživanja uspoređeni su s rezultatima dobivenim ispitivanjem.

2 Određivanje rotacijske krutosti opruge C_D prema Eurokodu 3

Prema Eurokodu 3, EN 1993-1-3, točka 10.1.5.1 izrađeni su modeli za određivanje rotacijske krutosti $C_{D,A}$ koju osigurava trapezni lim T53/162,5/1 spojen širok

pojasnicom preko udubljenja s tankostjenim nosačem profila Z 200/60/15/2 (slika 3.).



Slika 3. Eksperimentalno određivanje rotacijske krutosti $C_{D,A}$

Pripadna rotacijska krutost spoja nosača i lima za gravitacijsko opterećenje $C_{D,A} = 2,64 \text{ kN/m}$, a za odižuće opterećenje $C_{D,A} = 4,89 \text{ kN/m}$. Rotacijska krutost $C_{D,C}$ koja odgovara krutosti lima na savijanje preko jednog polja s rasponom (razmakom tankostjenih nosača) $s = 2\text{m}$ jest:

- za položaj lima s užom pojasmicom u tlaku: $I_{eff} = 56,55 \text{ cm}^4/\text{m}$, $C_{D,C} = 122,71 \text{ kN/m}$,
- za položaj lima širom pojasmicom u tlaku: $I_{eff} = 54,26 \text{ cm}^4/\text{m}$, $C_{D,C} = 117,74 \text{ kN/m}$.

Za model sastavljen od dvaju nosača profila Z 200/60/15/2 na međusobnom razmaku $s = 2\text{m}$ pridržanih trapeznim limom T53/162,5/1 ukupna je rotacijska krutost opruge C_D :

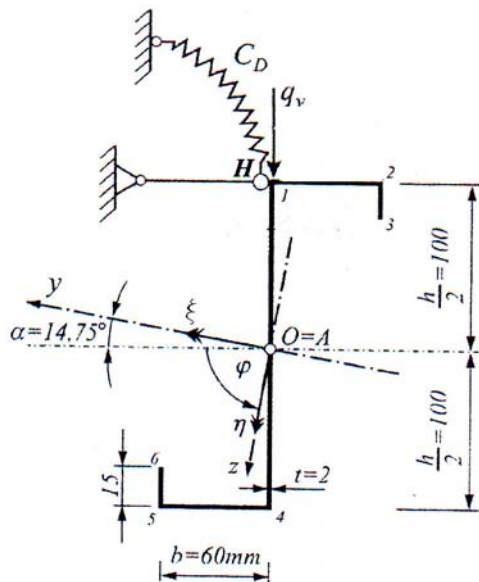
- za model izložen gravitacijskom opterećenju (uža pojasnica lima u tlaku) $C_D = 2,58 \text{ kN/m}$
- za model izložen odižućem opterećenju (šira pojasnica lima u tlaku) $C_D = 4,69 \text{ kN/m}$.

3 Tankostjeni nosač Z-profila bočno pridržan trapezno profiliranim limom pod djelovanjem gravitacijskog opterećanja

3.1 Prijenos gravitacijskog opterećenja s lima na tankostjeni nosač, propisan Eurokodom 3, model "A"

Osi y i z su glavne osi tromosti poprečnog presjeka, a os x je uzdužna os nosača. Točka A je središte posmika. Komponente pomaka središta posmika A u smjeru glavnih osi tromosti y i z označene su sa $\xi(x)$ i $\eta(x)$, a $\varphi(x)$ je kut rotacije poprečnog presjeka oko osi središta posmika. Nosač je opterećen linijskim gravitacijskim opte-

rećenjem q_v izravno na hrbat nosača kao što je propisano u Eurokodu 3 (model "A") (slika 4.) [3].



Slika 4. Bočno pridržan tankostjeni nosač Z-profila opterećen gravitacijskim opterećenjem prema Eurokodu 3, model "A"

Pomak točke H u smjeru krute linijske veze:

$$\delta_H = \xi \cdot \cos \alpha + \eta \cdot \sin \alpha + \frac{h}{2} \cdot \varphi = 0 \quad (3)$$

odakle je

$$\xi = -\eta \cdot \tan \alpha - \frac{h}{2 \cdot \cos \alpha} \cdot \varphi. \quad (4)$$

U krutoj linijskoj vezi pojavljuje se osno reaktivno opterećenje \bar{q}_H . Projekcija tog opterećenja u smjeru glavnih osi tromosti y i z jesu:

$$\bar{q}_y = \bar{q}_H \cdot \cos \alpha \quad (5a)$$

$$\bar{q}_z = \bar{q}_H \cdot \sin \alpha. \quad (5b)$$

Ukupno opterećenje po jedinici duljine nosača u smjeru glavnih osi tromosti:

$$q_y = -q_v \cdot \sin \alpha + \bar{q}_H \cdot \cos \alpha \quad (6a)$$

$$q_z = q_v \cdot \cos \alpha + \bar{q}_H \cdot \sin \alpha. \quad (6b)$$

Reaktivni je torzijski moment:

$$\bar{m} = -C_D \cdot \varphi + \frac{h}{2} \cdot \bar{q}_H.$$

U ovom slučaju diferencijalne jednadžbe ravnoteže nosača primaju sljedeći oblik:

$$E \cdot I_y \cdot \eta'' - q_v \cdot \cos \alpha = \bar{q}_H \cdot \sin \alpha \quad (7)$$

$$E \cdot I_z \cdot \xi^{IV} + q_v \cdot \sin \alpha = \bar{q}_H \cdot \cos \alpha \quad (8)$$

$$E \cdot I_\omega \cdot \varphi^{IV} - G \cdot I_t \cdot \varphi'' + C_D \cdot \varphi - \frac{h}{2} \cdot \bar{q}_H = 0 \quad (9)$$

Primjenom izraza (4), jednadžbe (7) i (9) mogu se prikazati u sljedećem obliku:

$$\eta^{IV} + \frac{I_z}{I_y + I_z \cdot \operatorname{tg}^2 \alpha} \cdot \frac{h \cdot \sin \alpha}{2 \cdot \cos^2 \alpha} \cdot \varphi^{IV} - \frac{q_v}{E \cdot (I_y + I_z \cdot \operatorname{tg}^2 \alpha) \cdot \cos \alpha} = 0 \quad (10)$$

$$E \cdot \left(I_\omega + I_z \cdot \frac{h^2}{4 \cdot \cos^2 \alpha} - \frac{I_z^2}{I_y + I_z \cdot \operatorname{tg}^2 \alpha} \cdot \frac{h^2 \cdot \sin^2 \alpha}{4 \cdot \cos^4 \alpha} \right) \cdot \varphi^{IV} - G \cdot I_t \cdot \varphi'' + C_D \cdot \varphi = q_v \cdot \frac{h}{2} \cdot \operatorname{tg} \alpha \left[1 - \frac{I_z}{(I_y + I_z \cdot \operatorname{tg}^2 \alpha) \cdot \cos^2 \alpha} \right]. \quad (11)$$

Nakon što se riješi jednadžba torzije (11) i odredi funkcija $\varphi(x)$, može se riješiti jednadžba (10) koja opisuje savijanje u glavnoj ravnini $x-z$ i tako odrediti funkciju $\eta(x)$. Za određene funkcije $\varphi(x)$ i $\eta(x)$, funkciju $\xi(x)$ koja se odnosi na savijanje u glavnoj ravnini $x-y$ odredimo izrazom (4).

U jednadžbama (10) i (11) I_y , I_z su glavni osni momenti tromosti, I_t torzijski moment tromosti poprečnog presjeka (St. Venantova torzijska konstanta) određena izrazom:

$$I_t = \frac{1}{3} \cdot \int_s t^3 \cdot ds. \quad (12)$$

I_ω je glavni sektorski moment tromosti poprečnog presjeka i određen je izrazom [10]:

$$I_\omega = \int_A \omega^2 \cdot dA \quad (13)$$

gdje je ω glavna sektorska koordinata.

U poprečnom presjeku nosača ukupni moment torzije M_t jednak je zbroju momenata čiste torzije (Saint-Venantove torzije) M_{ts} i torzijskog momenta iskrivljenja M_ω ograničene torzije [10]:

$$M_t = M_{ts} + M_\omega. \quad (14)$$

Saint-Venantov moment čiste torzije određen je izrazom [10]:

$$M_{ts} = G \cdot I_t \cdot \varphi'. \quad (15)$$

Posmična naprezanja τ_s zbog čiste torzije (Saint-Venantove torzije) raspodijeljena su po debljini stijenke prema linearnom zakonu i određena su izrazom [10]:

$$\tau_s = \frac{M_{ts}}{I_t} \cdot n \quad (16)$$

gdje je n udaljenost promatrane točke poprečnog presjeka od središnje linije stijenke nosača u smjeru normale \vec{n} .

Torzijski moment iskrivljenja određen je izrazom [10]:

$$M_\omega = -E \cdot I_\omega \cdot \varphi''. \quad (17)$$

Pri ograničenoj torziji dodatna posmična naprezanja τ_ω jednoliko su raspodijeljena po debljini stijenke nosača i određena su izrazom [10]:

$$\tau_\omega = -\frac{M_\omega \cdot \bar{S}_\omega}{I_\omega \cdot t} \quad (18)$$

\bar{S}_ω je sektorski statički moment odrezanog dijela poprečnog presjeka određen izrazom [10]:

$$\bar{S}_\omega = \int_A \omega \cdot dA. \quad (19)$$

Bimoment je određen izrazom [10]:

$$B_\omega = -E \cdot I_\omega \cdot \varphi''. \quad (20)$$

Pri ograničenoj torziji dopunska sektorska normalna naprezanja određena su izrazom [10]:

$$\sigma_\omega = \frac{B_\omega}{I_\omega} \cdot \omega \quad (21)$$

i prema pretpostavci jednoliko su raspodijeljena po debljini stijenke nosača.

Ukupno normalno naprezanje od savijanja u glavnim ravninama $x-y$ i $x-z$ i od ograničene torzije dobije se superpozicijom [10]:

$$\sigma_x = \sigma = \frac{M_y}{I_y} \cdot z - \frac{M_z}{I_z} \cdot y + \frac{B_\omega}{I_\omega} \cdot \omega. \quad (22)$$

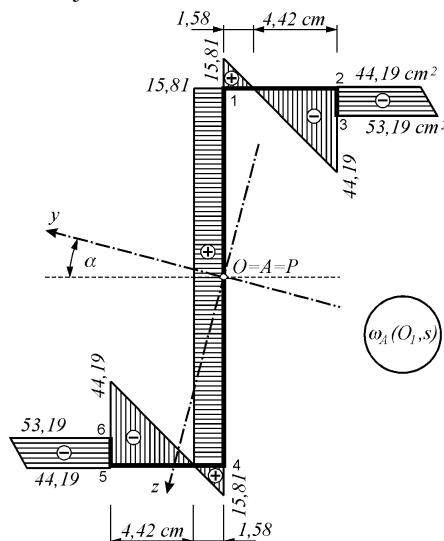
Posmična naprezanja τ_0 od poprečne sile i od ograničene torzije, raspodijeljena su jednoliko po debljini stijenke nosača i određena su superpozicijom [10]:

$$\tau_0(x, s) = -\frac{T_z \cdot \bar{S}_y}{I_y \cdot t} - \frac{T_y \cdot \bar{S}_z}{I_z \cdot t} - \frac{M_\omega \cdot \bar{S}_\omega}{I_\omega \cdot t} \quad (23)$$

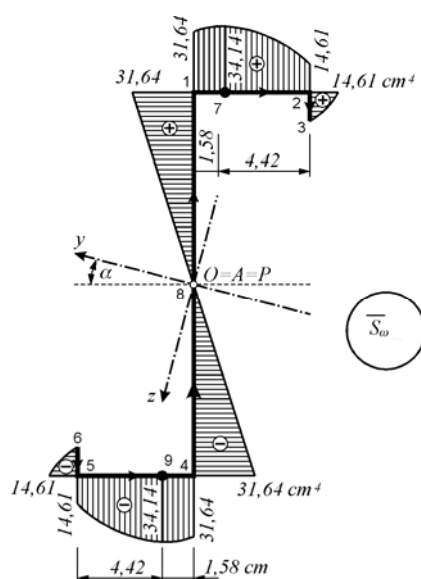
gdje su \bar{S}_y i \bar{S}_z statički momenti odrezanog dijela poprečnog presjeka s obzirom na glavne središnje osi tromosti y i z .

Za nosač Z 200/60/15/2, (slika 4.) jest: $\alpha = 14,75^\circ$; $I_y = 446,36 \text{ cm}^4$; $I_z = 22,98 \text{ cm}^4$; $I_{\omega} = 3629,57 \text{ cm}^6$; $I_t = 9,33 \cdot 10^{-2} \text{ cm}^4$; $E = 2,33 \cdot 10^5 \text{ MPa}$; $\nu = 0,31$. Za model sastavljen od dvaju nosača profila Z 200/60/15/2 na međusobnom razmaku $s = 2 \text{ m}$ pridržanih trapezno profiliranim limom T 53/162,5/1 za model izložen gravitacijskom opterećenju (uža pojasnica lima u tlaku) ukupna rotacijska krutost opruge dobivena ispitivanjem prema Eurokodu 3 [3] jest $C_D = 2,58 \text{ kN/m}$.

Za profil Z 200/60/15/2 dijagram glavne sektorske koordinate ω [10] prikazan je na slici 5. Dijagram sektorskoga statičkog momenta odrezanog dijela presjeka \bar{S}_{ω} [10] prikazan je na slici 6.



Slika 5. Dijagram glavne sektorske koordinate



Slika 6. Dijagram sektorskoga statičkog momenta odrezanog dijela presjeka

Za zadane vrijednosti diferencijalna jednadžba problema torzije (11) svodi se na oblik:

$$\varphi''' - 0,05859 \cdot \varphi'' + 1,82178 \cdot \varphi = 1,75708 \cdot 10^{-5} \cdot q_v \quad (24)$$

Kraj nosača je slobodno oslonjen, a rotacija oko uzdužne osi nije moguća. Rubni uvjeti glase:

$$\text{za } x = 0 : \varphi(0) = 0 ; \varphi''(0) = 0$$

$$\text{za } x = l : \varphi(l) = 0 ; \varphi''(l) = 0 . \quad (25)$$

Za zadane rubne uvjete (25) opće rješenje jednadžbe (24) glasi:

$$\begin{aligned} \varphi(x) = & (0,20937 \cdot \sin px \cdot shmx - 1,98452 \cdot \sin px \cdot chmx + \\ & + 10,74921 \cdot \cos px \cdot shmx - 9,64485 \cdot \cos px \cdot chmx + 9,64485) \cdot \\ & \cdot 10^{-6} \cdot q_v \end{aligned} \quad (26)$$

gdje je:

$$m = 0,83037 \left[\frac{1}{m} \right]; p = 0,81254 \left[\frac{1}{m} \right]. \quad (27)$$

Kraj nosača je slobodno oslonjen. Rubni uvjeti za funkciju $\eta(x)$ u jednadžbi (10) glase:

$$\text{za } x = 0 : \eta(0) = 0 ; \eta''(0) = 0 ;$$

$$\text{za } x = l : \eta(l) = 0 ; \eta''(l) = 0 . \quad (28)$$

Za zadane rubne uvjete (25) i (28) opće rješenje jednadžbe (10) glasi:

$$\begin{aligned} E \cdot (I_y + I_z \cdot \operatorname{tg}^2 \alpha) \cdot \eta = & -E \cdot I_z \cdot \frac{h \cdot \sin \alpha}{2 \cdot \cos^2 \alpha} \cdot \varphi + \\ & + \frac{q_v}{\cos \alpha} \cdot \frac{x^4}{24} - \frac{q_v}{\cos \alpha} \cdot \frac{l}{12} \cdot x^3 + \frac{q_v}{\cos \alpha} \cdot \frac{l^3}{24} \cdot x \end{aligned} \quad (29)$$

Funkcija $\xi(x)$ određena je izrazima (4), (26) i (29).

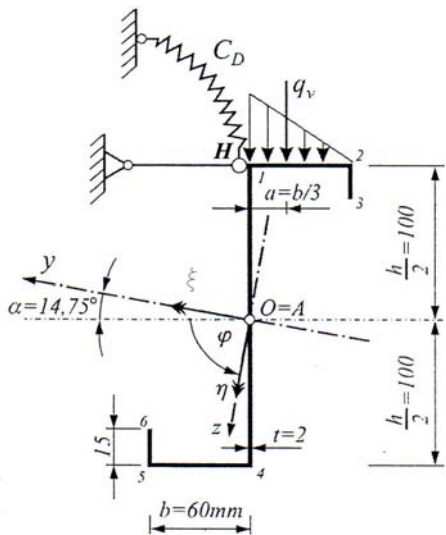
3.2 Prijenos gravitacijskog opterećenja s trapeznog lima na pojasnicu tankostjenog nosača po linearnom zakonu, model "B"

Na osnovi karaktera deformacija pojasnice nosača, pretpostavlja se da je raspodjela tlaka između lima i pojasnice nosača linearna (slika 7.).

U ovoj varijanti opterećenja, nosač je opterećen linearno raspodijeljenim opterećenjem q_v i jednoliko raspodijeljenim momentom torzije:

$$m_t = m_x = -a \cdot q_v \quad (30)$$

U razmatranoj je varijanti opterećenja $a = \frac{b}{3} = 20 \text{ mm}$.



Slika 7. Prijenos opterećenja s lima na pojasnicu nosača po linearnom zakonu, model "B"

Ponašanje nosača pod gravitacijskim opterećenjem opisano je jednadžbama (4), (10), dok jednadžba (11) sad ima oblik:

$$\begin{aligned} E \cdot \left(I_{\omega} + I_z \cdot \frac{h^2}{4 \cdot \cos^2 \alpha} - \frac{I_z^2}{I_y + I_z \cdot \operatorname{tg}^2 \alpha} \cdot \frac{h^2 \cdot \sin^2 \alpha}{4 \cdot \cos^4 \alpha} \right) \cdot \varphi^{IV} - G \cdot I_t \cdot \varphi'' + C_D \cdot \varphi = \\ = q_v \cdot \left\{ \frac{h}{2} \cdot \operatorname{tg} \alpha \cdot \left[1 - \frac{I_z}{(I_y + I_z \cdot \operatorname{tg}^2 \alpha) \cdot \cos^2 \alpha} \right] - a \right\} \quad (31) \end{aligned}$$

Za zadane rubne uvjete (25) opće rješenje jednadžbe (31) glasi:

$$\begin{aligned} \varphi(x) = & (0,04109 \cdot \sin px \cdot shmx - 0,38949 \cdot \sin px \cdot chmx + \\ & + 2,10968 \cdot \cos px \cdot shmx - 1,89293 \cdot \cos px \cdot chmx + 1,89293) \cdot \\ & \cdot 10^{-6} \cdot q_v \quad (32) \end{aligned}$$

U izrazu (32) m i p su određeni izrazom (27). Funkcija $\eta(x)$ dana je izrazom (29), a funkcija $\xi(x)$ određena je izrazom (4).

3.3 Optimalni prijenos opterećenja s trapeznog lima na pojasnicu tankostjenog nosača, model "C"

Utjecaji nagiba glavnih osi tromosti i torzije su suprotni. Ako su ta dva utjecaja po absolutnoj vrijednosti jednaka, dobit ćemo da je diferencijalna jednadžba torzije (31) homogena.

Za $a = 2,48838 \cdot 10^{-2} m = 2,48838 cm$, u jednadžbi (31) slobodni član na desnoj strani jednak je nuli i diferencijalna jednadžba torzije se svodi na oblik:

$$\varphi^{IV} - 0,05859 \cdot \varphi'' + 1,82178 \cdot \varphi = 0 \quad (33)$$

Za zadane rubne uvjete (25) dobivamo da je opće rješenje jednadžbe (33)

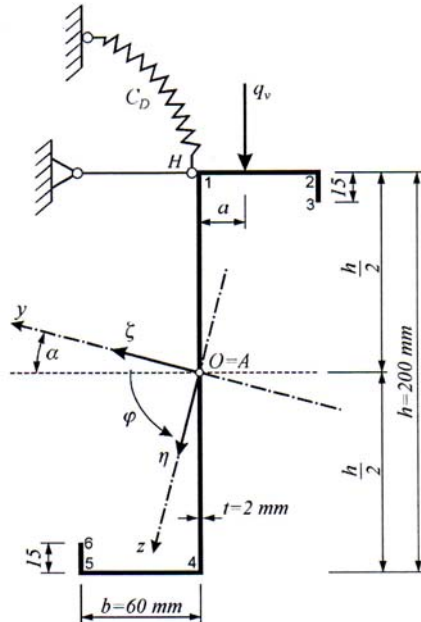
$$\varphi(x) = 0 \quad (34)$$

Iz izraza (10) i (29) za $\varphi(x) = 0$ dobivamo:

$$\begin{aligned} E \cdot (I_y + I_z \cdot \operatorname{tg}^2 \alpha) \cdot \eta = & \frac{q_v}{\cos \alpha} \cdot \frac{x^4}{24} - \frac{q_v}{\cos \alpha} \cdot \frac{l}{12} \cdot x^3 + \\ & + \frac{q_v}{\cos \alpha} \cdot \frac{l^3}{24} \cdot x \quad (35) \end{aligned}$$

Iz izraza (4) dobivamo:

$$\xi(x) = -\eta(x) \cdot \operatorname{tg} \alpha \quad (36)$$



Slika 8. Bočno pridržani nosač pod djelovanjem gravitacijskog opterećenja, model "C"

4 Tankostjeni nosač Z-profilira bočno pridržan trapezno profiliranim limom pod djelovanjem odižućeg opterećenja, model "D" [3]

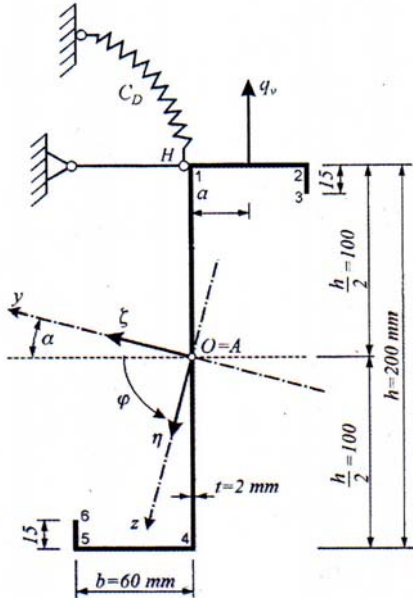
Na slici 9. prikazan je nosač opterećen odižućim opterećenjem.

Ponašanje nosača pod odižućim opterećenjem opisano je jednadžbama (37), (38), (39).

$$\xi = -\eta \cdot \operatorname{tg} \alpha - \frac{h}{2 \cdot \cos \alpha} \cdot \varphi \quad (37)$$

$$\begin{aligned} \eta^{IV} + & \frac{I_z}{I_y + I_z \cdot \operatorname{tg}^2 \alpha} \cdot \frac{h \cdot \sin \alpha}{2 \cdot \cos^2 \alpha} \cdot \varphi^{IV} + \\ & + \frac{q_v}{E \cdot (I_y + I_z \cdot \operatorname{tg}^2 \alpha) \cdot \cos \alpha} = 0 \quad (38) \end{aligned}$$

$$\begin{aligned}
 & E \cdot \left(I_{\omega} + I_z \cdot \frac{h^2}{4 \cdot \cos^2 \alpha} - \frac{I_z}{I_y + I_z \cdot \operatorname{tg}^2 \alpha} \cdot \frac{h^2 \cdot \sin^2 \alpha}{4 \cdot \cos^4 \alpha} \right) \cdot \varphi^{IV} - \\
 & - G \cdot I_t \cdot \varphi'' + C_D \cdot \varphi = \\
 & = q_v \cdot \left\{ a - \frac{h}{2} \cdot \operatorname{tg} \alpha \cdot \left[1 - \frac{I_z}{(I_y + I_z \cdot \operatorname{tg}^2 \alpha) \cdot \cos^2 \alpha} \right] \right\} \quad (39)
 \end{aligned}$$



Slika 9. Bočno pridržan nosač pod djelovanjem odižućeg opterećenja, model "D"

Za $a = 2,48838 \cdot 10^{-2} m = 2,48838 cm$, u jednadžbi (39) slobodni član na desnoj strani jednak je nuli. Diferencijalna jednadžba torzije (39) svodi se na oblik:

$$\varphi^{IV} - 0,05859 \cdot \varphi'' + 3,31168 \cdot \varphi = 0 \quad (40)$$

Za zadane rubne uvjete (25) dobivamo da je opće rješenje jednadžbe (40)

$$\varphi(x) = 0 \quad (41)$$

Za zadane rubne uvjete (28) opće rješenje jednadžbe (38) glasi:

$$\begin{aligned}
 & E \cdot (I_y + I_z \cdot \operatorname{tg}^2 \alpha) \cdot \eta = \\
 & = - \frac{q_v}{\cos \alpha} \cdot \frac{x^4}{24} + \frac{q_v}{\cos \alpha} \cdot \frac{l}{12} \cdot x^3 - \frac{q_v}{\cos \alpha} \cdot \frac{l^3}{24} \cdot x \quad (42)
 \end{aligned}$$

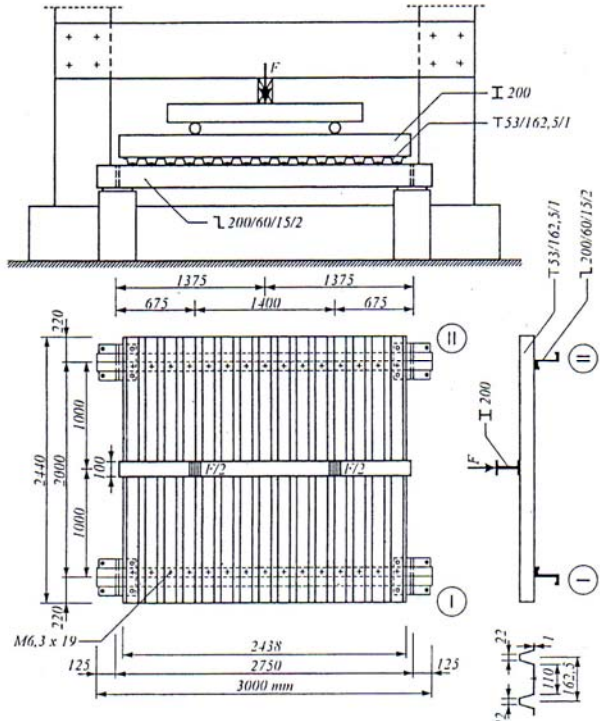
Iz izraza (4) i (37) dobivamo:

$$\xi(x) = -\eta(x) \cdot \operatorname{tg} \alpha \quad (43)$$

5 Rezultati teorijskih i eksperimentalnih istraživanja

Laboratorijska ispitivanja provedena su na modelu sastavljenom od dvaju čeličnih pocijančanih nosača profila Z 200/60/15/2 raspona $l = 2,75$ m, na međusobnom razma-

ku $s = 2,0$ m. Nosači su na jednoj pojasnici pridržani čeličnim pocijančanim limom T 53/162,5/1; Č.0147. Model je ispitivan pod djelovanjem gravitacijskog opterećenja. Ispitivanje je provedeno u šest faza opterećenja i rasterećenja. Shema gravitacijskog opterećenja na modelu prikazana je na slici 10. [1]; model u tijeku ispitivanja prikazan je na slici 11.



Slika 10. Shema gravitacijskog opterećenja modela



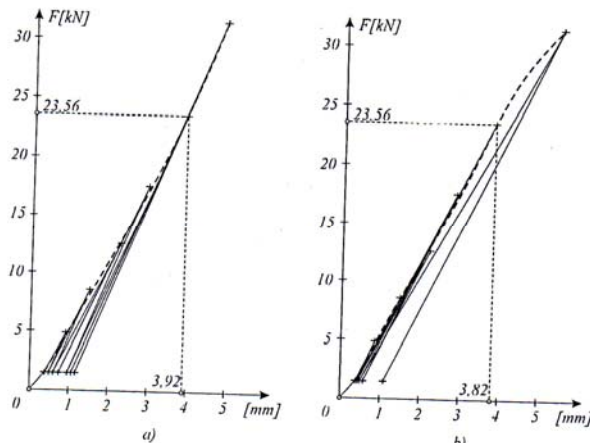
Slika 11. Ispitivanje modela pod djelovanjem gravitacijskog opterećenja

U poprečnim presjecima u sredini raspona nosača i u presjeku neposredno uz ležajeve nosača mjerene su deformacije te vertikalni i horizontalni pomaci na slobodnoj (nepridržanoj) pojasnici nosača u svakoj fazi opterećenja i rasterećenja nosača. Do sloma modela došlo je zbog sloma trapeznog lima pri opterećenju $F = 33,49 kN$, čemu odgovara opterećenje po jedinici duljine pojedinog nosača modela

$$q_v = \frac{F}{2 \cdot l} = \frac{33,49 \cdot 10^3}{2 \cdot 2,75} = 6,08909 \cdot 10^3 N/m,$$

gdje je raspon nosača $l = 2,75m$.

Dijagrami ukupnih progiba u sredini raspona slobodne pojasnice nosača I i nosača II prikazani su na slici 12.

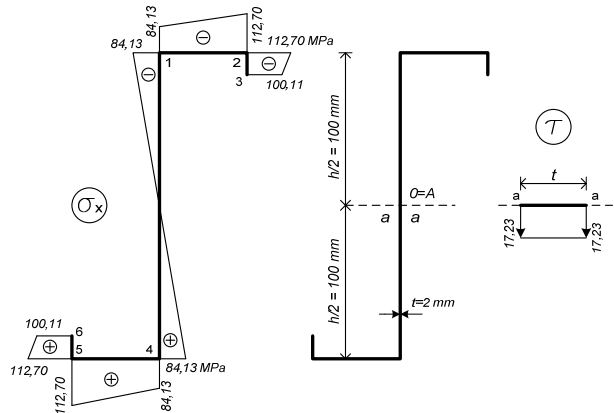


Slika 12. Dijagrami ukupnog progiba u sredini raspona slobodne pojasnice: a) nosač I, b) nosač II

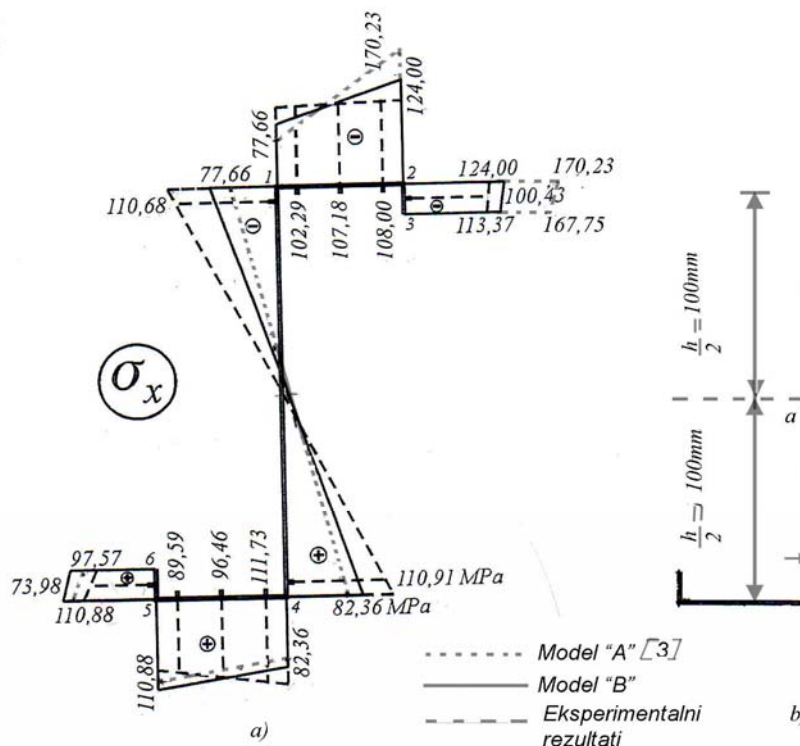
Razmatra se linearno ponašanje modela pod djelovanjem gravitacijskog opterećenja $F = 23,56kN$, čemu odgovara opterećenje po jedinici duljine pojedinog nosača modela

$$q_v = \frac{F}{2 \cdot l} = \frac{23,56 \cdot 10^3}{2 \cdot 2,75} = 4,28364 \cdot 10^3 N/m.$$

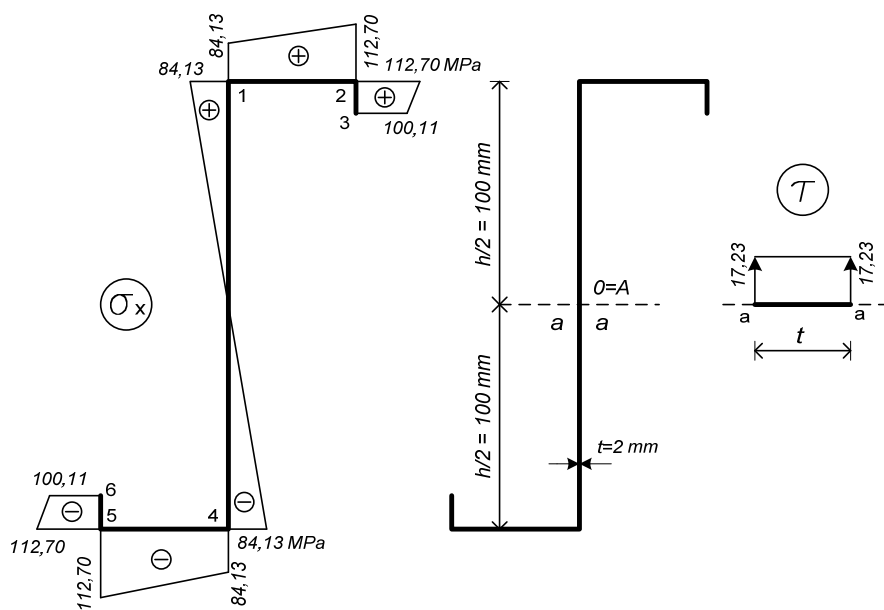
Dijagram normalnih naprezanja u poprečnom presjeku u sredini raspona i dijagram posmičnih naprezanja uz ležaj ($x = 0$) bočno pridržanoga tankostjenog nosača dobiveni teorijskim i laboratorijskim ispitivanjem prikazani su: za model "A" i "B" na slici 13., za model "C" na slici 14., a za model "D" na slici 15.



Slika 14. Model "C". Dijagrami naprezanja: a) normalnih naprezanja u poprečnom presjeku u sredini raspona nosača, b) punog posmičnog naprezanja u poprečnom presjeku uz ležaj ($x = 0$)



Slika 13. Modeli "A" i "B". Dijagrami naprezanja: a) normalnih naprezanja u poprečnom presjeku u sredini raspona nosača, b) punog posmičnog naprezanja u poprečnom presjeku uz ležaj ($x = 0$)



Slika 15. Model "D": Dijagrami naprezanja: a) normalnih naprezanja u poprečnom presjeku u sredini raspona nosača, b) punog posmičnog naprezanja u poprečnom presjeku uz ležaj ($x = 0$)

Tablica 1. Usporedba eksperimentalnih i teorijskih rezultata istraživanja

MODEL	Teorijski rezultati			Rezultati ispitivanja		
	$f(l/2)$	$ \sigma_x _{\max}$	$ \tau _{\max}$	$f(l/2)$	$ \sigma_x _{\max}$	$ \tau _{\max}$
	mm	MPa	MPa	mm	MPa	MPa
"A"	6,58	170,23	23,52			
"B"	3,55	124,00	18,59	3,87	115,57	20,01
"C"	3,26	112,70	17,23			
"D"	3,26	112,70	17,23			

Radi bolje preglednosti i usporedbe dobivenih rezultata provedenih teorijskih i eksperimentalnih istraživanja za gravitacijsko opterećenje $q_v = 4,28364 \text{ kN/m}$ u tablici 1.

navedeni su za modele "A", "B", "C" i "D" podaci: a) za ukupni progib nepridržane pojasnice nosača u sredini raspona nosača; b) za apsolutne vrijednosti najvećega normalnog naprezanja u poprečnom presjeku u sredini raspona nosača, c) za najveće posmično naprezanje u poprečnom presjeku uz ležaj nosača ($x = 0$).

6 Zaključak

Iz usporedbi rezultata eksperimentalnih i teorijskih istraživanja ponašanja bočno pridržanih tankostjenih nosača pod djelovanjem gravitacijskog opterećenja, može se zaključiti da se dobiveni rezultati istraživanja bolje podudaraju za modele "B" i "C" nego za model "A". Iz rezultata provedenih istraživanja proizlazi da se definiranje prijenosa gravitacijskog opterećenja s trapeznog lima na tankostjeni nosač treba zasnovati na deformaciji pojasnice tankostjenog nosača. Za inačicu prijenosa gravitacijskog opterećenja s lima na pojase nosača, model "C", kad se međusobno poništavaju utjecaj nagiba glavnih osi tromosti i utjecaj torzije ($\varphi = 0$), dobiva se najpovoljnije stanje naprezanja u nosaču. Da bi se dobio što potpuniji uvid u stvarni prijenos gravitacijskog opterećenja s trapeznog lima na tankostjeni nosač, potrebna su daljnja teorijska i eksperimentalna istraživanja. Kod odižućeg opterećenja nosača izborom položaja spojnih vijaka u pojascu nosača može se postići da se utjecaj nagiba glavnih osi tromosti i utjecaj torzije međusobno poništavaju (slobodni član u jednadžbi torzije jednak je nuli) i time postići za dane uvjete najpovoljnije stanje naprezanja u nosaču.

LITERATURA

- [1] Dally, J. W.; Riley, W. F.: *Experimental Stress Analysis*, McGraw-Hill, Inc. New York, London, Tokyo, 1991.
- [2] Doyle, J. F.: *Nonlinear Analysis of Thin-Walled Structures, Statics, Dynamics and Stability*, Springer-Verlag, New York, Inc. 2001.
- [3] Eurocode 3: *Design of Steel Structures-Part 1-3: General Rules-Supplementary Rules for cold formed members and sheeting*. European Committee for Standardization, October, 2006.
- [4] Gjelsvik, A.: *The theory of thin walled bars*, John Wiley & Sons, New York, 1981.
- [5] Murray, N. W.: *Introduction to the theory of thin-walled structures*, Clarendon Press, Oxford, 1985.
- [6] Ojalvo, M.: *Thin-walled bars with open profiles*, The Olive Press, 1024 Fairway Ln., Estes Park, Colorado 80517, 1991.
- [7] Šimić, D.: *Sigurnost tankostjenih profila trapeznog poprečnog presjeka*, magistarski rad, Građevinski fakultet Sveučilišta u Zagrebu, 1999.
- [8] Šimić, D.: *Analiza ponašanja bočno pridržanih tankostjenih nosača otvorenog poprečnog presjeka*, doktorska disertacija, Građevinski fakultet Sveučilišta u Zagrebu, 2003.
- [9] Šimić, D.: *Teorija tankostjenih nosača otvorenog poprečnog presjeka*, Građevinski fakultet Sveučilišta u Zagrebu, Zagreb, 2008. 299. stranica
- [10] Vlasov, V. Z.: *Thin-Walled Elastic Beams (2nd edn)*. Israel Program for Translations, Jerusalem, 1961.